

# Introdução ao Processamento Digital de Imagem

## Trabalho 03

Filipe Alves Sampaio  
RA 249092

### I. Introdução

Este trabalho tem como objetivo explicar o funcionamento, implementação e resultados do trabalho 03, desenvolvido na disciplina MO443. O trabalho tem como objetivo implementar dois algoritmos para detecção e correção de inclinação de documentos, um baseado em projeção horizontal e outro baseado na transformada de hough.

A seção II inclui exemplos de execução do programa, bem como os parâmetros necessários para sua execução e uma descrição, tanto dos parâmetros de entrada como das saídas geradas pelo script.

### II. Execução

Dentro do zip referente ao trabalho, encontra-se o arquivo: *alinhar.py*. Esse arquivo, escrito em Python, foi desenvolvido para realizar as tarefas especificadas na descrição do trabalho. Nessa seção apresenta-se os seguintes tópicos:

#### A. Dependências necessárias para a execução do trabalho.

É opcional, mas aconselha-se utilizar um ambiente de desenvolvimento para isolar as bibliotecas utilizadas nesse trabalho.

Assim, como orientado pelo professor da disciplina, utilize o Anaconda ou semelhante e crie um ambiente separado.

Após isso, instale as seguintes dependências:

- **Python:** Foi utilizado a versão 3.12.2. Essa versão é opcional, dado que os scripts desenvolvidos são simples e não utilizam algoritmos sofisticados que não existam em versões anteriores do Python.
- **Numpy:** Usada para manipular vetores e otimizar o encode da esteganografia.
- **Sys:** Usada para manipular argumentos passados por linha de comando.
- **Opencv:** Biblioteca usada para manipular imagens.
- **Matplotlib:** Biblioteca usada para gerar histogramas das imagens.
- **Pytesseract:** é um software de reconhecimento ótico de caracteres de código aberto.

#### B. Funcionalidades implementadas e suas ações sobre as tarefas exigidas no trabalho.

Essa seção tem como finalidade explicar brevemente o funcionamento do que foi implementado. Uma análise mais profunda dos algoritmos usados será descrita na seção III e uma análise dos resultados será discutida na seção IV.

Como descrito pelo trabalho, o objetivo é implementar dois algoritmos para detectar o ângulo de rotação de um documento e realizar a correção para uma inclinação horizontal.

Para isso, é requisitada a implementação da projeção horizontal e da transformada de hough para verificar o desempenho de ambas em relação a

detecção e ajuste dos ângulos de inclinação do documento.

Após isso, deve ser verificado, utilizando um algoritmo de OCR (Optical Character Recognition), se é possível obter o texto do documento antes e após a correção de inclinação. Na descrição do trabalho é sugerido a utilização do Tesseract. Assim, foi utilizado esse algoritmo.

### C. Parâmetros.

Neste tópico, é tratado os parâmetros possíveis para executar o *script* implementado. Seguindo o que foi informado pela descrição do trabalho, foi utilizado os seguintes parâmetros:

- **<imagem\_entrada.png>**: imagem no formato PNG antes do alinhamento.
- **<modo>**: técnica utilizada no alinhamento da imagem (0: projeção horizontal e 1: transformada de hough).
- **<imagem\_saida.png>**: imagem no formato PNG após o alinhamento.

Além desses parâmetros, é informado na seguinte lista, os arquivos que serão utilizados para execução do programa:

- **alinhar.py**: arquivo principal que irá executar o experimento de detecção e correção de alinhamento.

### D. Exemplos de execução.

No diretório do programa há uma pasta, chamada: **/imgs**. Essa pasta contém as imagens de teste utilizadas na implementação do trabalho.

Ao finalizar a execução do *script* **alinhar.py**, será gerado uma única imagem no diretório do projeto (resultante da correção do alinhamento). Durante a execução do programa, serão plotados alguns resultados do experimento, como gráficos de projeções horizontais em

diferentes ângulos e imagens antes e após correção de inclinação.

O programa pode ser executado da seguinte forma:

**python alinhar.py imagem\_entrada.png modo imagem\_saida.png**

Para exemplificar, suponha que queira identificar o ângulo de inclinação da imagem **/imgs/neg\_28.png**, com o modo **0** (ou seja, para usar o algoritmo de projeção horizontal) e com o nome da imagem de saída **imagem\_final.png**. Segue comando:

**python alinhar.py /imgs/neg\_28.png 0 imagem\_final.png**

Ao executar esse comando acima, serão plotados: a imagem de entrada, um gráfico contendo todas as tentativas de ângulos na projeção horizontal e a imagem final corrigida.

Uma observação é que o gráfico de ângulos de tentativa é plotado apenas no modo 0, ou seja, somente quando se utiliza o algoritmo de projeção horizontal, pois esse algoritmo precisa realizar algumas rotações na imagem para que seja possível projetar os *pixels* pretos e calcular a função objetivo.

## III. Implementação

Nessa seção serão descritos os passos e motivações que levaram ao estado final da implementação do programa. Juntamente, será feita uma descrição do funcionamento de cada etapa.

Abrindo o arquivo **alinhar.py**, será possível visualizar todas as funções implementadas para realizar a projeção horizontal e transformada de hough.

### A. Código da projeção horizontal

Neste trabalho, utilizou-se uma implementação simplificada para realizar a projeção horizontal, seguindo o pseudocódigo sugerido na descrição do trabalho. Optou-se por utilizar já na primeira versão do algoritmo a biblioteca

**Numpy** para otimizar o código e evitar refatorações.

Conforme orientado no pseudocódigo, a função **projecao\_horizontal()** espera uma imagem de entrada. Dentro dessa função é feito uma conversão da imagem para tons de cinza.

Na sequência, são inicializados dois vetores, um para as projeções, que armazena todas as projeções horizontais dos *pixels* pretos, e outro para valores, que armazena os valores finais da função objetivo.

É estabelecido um intervalo de  $-45^\circ$  a  $45^\circ$ , com saltos de  $1^\circ$ . Para cada ângulo é feito uma rotação na imagem em tons de cinza, depois é feita a binarização da imagem e depois uma inversão de pixels pretos para brancos.

A projeção horizontal é feita usando a função **np.sum()** do **Numpy**, dividindo a imagem binarizada por 255 apenas no eixo 1, para que seja possível obter a projeção horizontal.

A função objetivo é calculada fazendo a diferença do perfil adjacente e depois somando seus quadrados, conforme sugerido pela descrição do trabalho.

Depois é plotado todas as projeções em um único gráfico, para visualizar as projeções realizadas.

No fim, o ângulo final será o perfil com maior valor. A função **projecao\_horizontal()** retorna então o ângulo detectado e a imagem corrigida.

Para corrigir a inclinação da imagem foi implementado a função **giralmagem()**, que recebe como parâmetros a imagem original e o ângulo que deve-se realizar a rotação. Essa função é utilizada tanto no algoritmo de projeção horizontal quanto na transformada de hough.

## B. Código da transformada de hough

Para detectar a inclinação utilizando transformada de hough, foi implementado a função **transformada\_hough()**, que recebe a imagem original. É feito a conversão da imagem original em tons de cinza também.

Para conseguir executar todos os exemplos dados na descrição do trabalho (contidos na pasta /imgs) foi necessário fazer um pré-processamento na imagem em tons de cinza. Isso porque algumas imagens possuem ruídos, que atrapalham o algoritmo detectar as retas reais da imagem. Sem esse pré-processamento, o algoritmo acaba detectando retas nos ruídos, levando o código a nunca convergir a detecção do ângulo de inclinação real. Outro caso de problema é que, devido aos ruídos, as retas acabam não sendo detectadas em nenhum ponto.

Assim, foi aplicado suavização gaussiana com *kernel* 5x5 e uma equalização do histograma da imagem suavizada. Isso foi o suficiente para conseguir obter bons resultados em todos os exemplos dados pelo trabalho.

Na sequência, é feita a binarização da imagem equalizada, seguida da aplicação do algoritmo de Canny para detectar as bordas.

Com isso, aplicou-se a função **cv2.HoughLines()**, disponível na biblioteca opencv, informando as bordas detectadas, o valor rho, theta e um limiar. Nos testes, a melhor configuração para o limiar foi de 130.

Após isso, é salvo todos os ângulos detectados pela função **cv2.HoughLines()** em um vetor, e, a partir desse vetor, calculou-se a moda dos ângulos obtidos. Nos testes, avaliou-se obter a média dos ângulos obtidos e também o valor máximo, porém, devido às imagens com ruídos dos exemplos do trabalho, somente a estratégia da moda resultou em bons resultados.

Logo depois, o valor obtido da moda é subtraído de  $90^\circ$ . a função

**transformada\_hough()** retorna então o ângulo detectado e a imagem original corrigida, utilizando a função **giralimagem()**.

### C. Validação e apresentação dos dados

Ao final da execução do programa, no diretório do trabalho, será gerado a imagem final, que é a imagem de entrada com a devida correção de ângulo de inclinação.

Durante a execução do programa, além das imagens e gráficos que serão plotados na tela, serão apresentados no terminal o ângulo detectado e a identificação dos textos antes e depois do processo, utilizando a biblioteca Tesseract.

## IV. Resultados

Nessa seção é apresentado alguns experimentos realizados durante a implementação.

O primeiro experimento é executando o comando:

```
python alinhar.py <img> 0  
img_saida.png
```

Onde, em **<img>** foram testadas todas as imagens de testes disponibilizados na descrição do trabalho (disponíveis na pasta **/imgs**), utilizando o modo 0, ou seja, utilizando o algoritmo de projeção horizontal.

Em todos os testes, obteve-se praticamente a detecção do mesmo valor de ângulo de inclinação feito na imagem. Isso deve-se às rotações de 1° em cada projeção. Observe as Figuras 1 a 8 os exemplos de inclinação na imagem e suas respectivas correções.

Our last argument is how we want to approximate the contour. We use `cv2.CHAIN_APPROX_SIMPLE` to compress horizontal, vertical, and diagonal segments into their end-points only. This saves both computation and memory. If we wanted *all* the points along the contour, without compression, we can pass in `cv2.CHAIN_APPROX_NONE`; however, be very sparing when using this function. Retrieving all points along a contour is often unnecessary and is wasteful of resources.

Figura 1. Imagem neg\_4, com -4° de rotação.

Our last argument is how we want to approximate the contour. We use `cv2.CHAIN_APPROX_SIMPLE` to compress horizontal, vertical, and diagonal segments into their end-points only. This saves both computation and memory. If we wanted *all* the points along the contour, without compression, we can pass in `cv2.CHAIN_APPROX_NONE`; however, be very sparing when using this function. Retrieving all points along a contour is often unnecessary and is wasteful of resources.

Figura 2. Imagem neg\_4 corrigida.

Our last argument is how we want to approximate the contour. We use `cv2.CHAIN_APPROX_SIMPLE` to compress horizontal, vertical, and diagonal segments into their end-points only. This saves both computation and memory. If we wanted *all* the points along the contour, without compression, we can pass in `cv2.CHAIN_APPROX_NONE`; however, be very sparing when using this function. Retrieving all points along a contour is often unnecessary and is wasteful of resources.

Figura 3. Imagem neg\_28 com -28° de rotação.

Our last argument is how we want to approximate the contour. We use `cv2.CHAIN_APPROX_SIMPLE` to compress horizontal, vertical, and diagonal segments into their end-points only. This saves both computation and memory. If we wanted *all* the points along the contour, without compression, we can pass in `cv2.CHAIN_APPROX_NONE`; however, be very sparing when using this function. Retrieving all points along a contour is often unnecessary and is wasteful of resources.

Figura 4. Imagem neg\_28 corrigida.

Our last argument is how we want to approximate the contour. We use `cv2.CHAIN_APPROX_SIMPLE` to compress horizontal, vertical, and diagonal segments into their endpoints only. This saves both computation and memory. If we wanted *all* the points along the contour, without compression, we can pass in `cv2.CHAIN_APPROX_NONE`; however, be very sparing when using this function. Retrieving all points along a contour is often unnecessary and is wasteful of resources.

Our last argument is how we want to approximate the contour. We use `cv2.CHAIN_APPROX_SIMPLE` to compress horizontal, vertical, and diagonal segments into their endpoints only. This saves both computation and memory. If we wanted *all* the points along the contour, without compression, we can pass in `cv2.CHAIN_APPROX_NONE`; however, be very sparing when using this function. Retrieving all points along a contour is often unnecessary and is wasteful of resources.

Figura 5. Imagem pos\_24 com 24° de rotação.

Figura 8. Imagem pos\_41 corrigida.

Our last argument is how we want to approximate the contour. We use `cv2.CHAIN_APPROX_SIMPLE` to compress horizontal, vertical, and diagonal segments into their endpoints only. This saves both computation and memory. If we wanted *all* the points along the contour, without compression, we can pass in `cv2.CHAIN_APPROX_NONE`; however, be very sparing when using this function. Retrieving all points along a contour is often unnecessary and is wasteful of resources.

Na figura **neg\_4.png**, devido a rotação baixa de  $-4^\circ$ , o Tesseract consegue detectar o texto com essa inclinação. O mesmo ocorre após corrigir a inclinação. Porém isso não ocorre para as figuras **neg\_28.png**, **pos\_24.png** e **pos\_41.png**, onde o Tesseract só consegue detectar o texto após o ajuste de inclinação.

Figura 6. Imagem pos\_24 corrigida.

Executando as imagens **partitura.png**, **sample1.png** e **sample2.png** observa-se maiores problemas devido a existência de ruídos, que foram corrigidos utilizando filtro de suavização gaussiano e equalização de histograma. Segue as Figuras 9 a 14.

Our last argument is how we want to approximate the contour. We use `cv2.CHAIN_APPROX_SIMPLE` to compress horizontal, vertical, and diagonal segments into their endpoints only. This saves both computation and memory. If we wanted *all* the points along the contour, without compression, we can pass in `cv2.CHAIN_APPROX_NONE`; however, be very sparing when using this function. Retrieving all points along a contour is often unnecessary and is wasteful of resources.

Figura 7. Imagem pos\_41 com 41° de rotação.



Figura 9. Imagem partitura com inclinação positiva desconhecida e com ruídos na imagem.

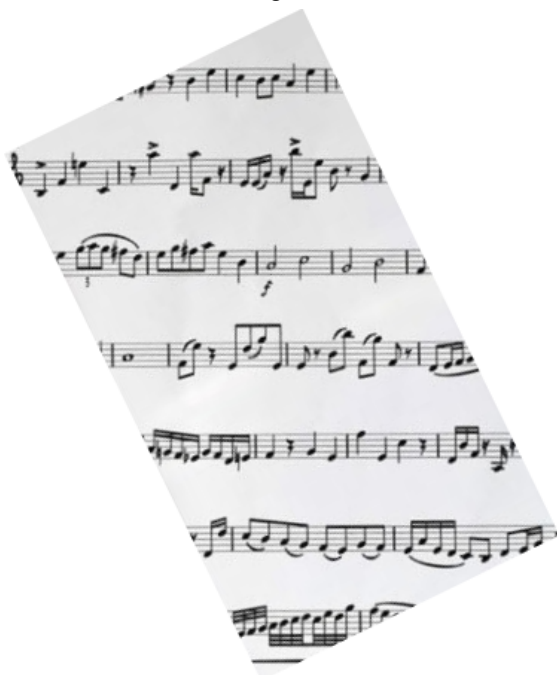


Figura 10. Imagem partitura com a devida correção de inclinação de 26°.



Figura 11. Imagem sample1 com inclinação positiva desconhecida.

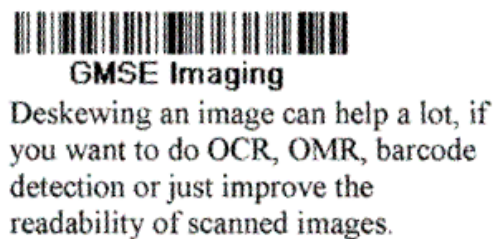


Figura 12. Imagem sample1 com a devida correção de 14°.

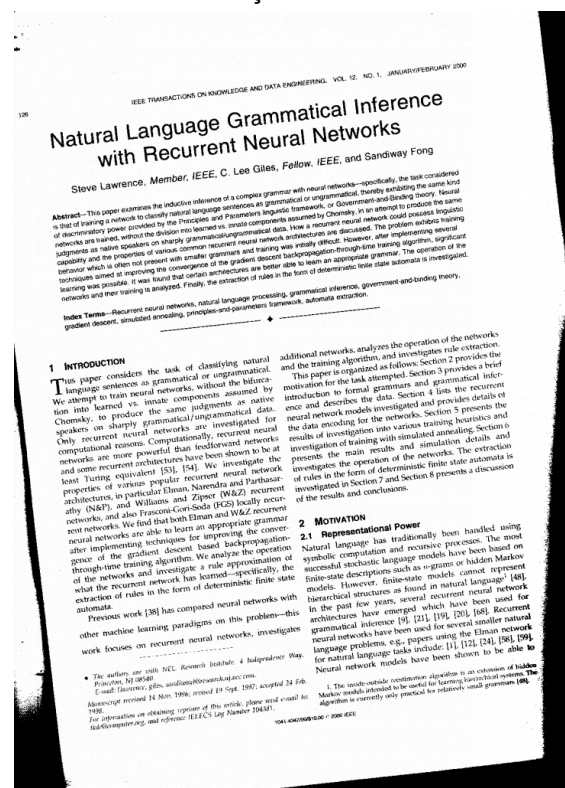


Figura 13. Imagem sample2 com inclinação negativa desconhecida e com ruídos na imagem.



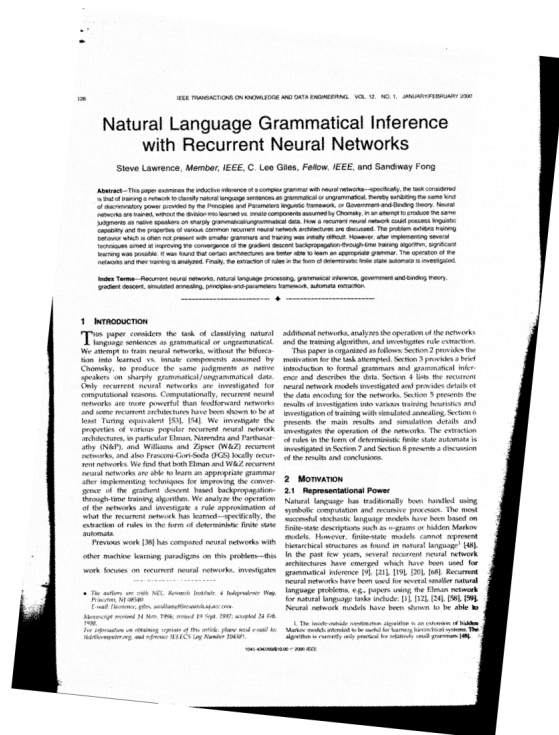


Figura 14. Imagem sample2 com a devida correção de inclinação -6°.

Como é apresentado nas Figuras 9 a 14, foi possível identificar e corrigir as suas rotações desconhecidas de forma satisfatória. Utilizando o OCR Tesseract, não foi possível identificar o texto nessas imagens com inclinações, porém, após realizar a correção, foi possível identificar textos nelas. Apenas uma ressalva, devido a qualidade das Figuras, principalmente **sample2.png**, o Tesseract acabou detectando palavras erradas. Sobre as projeções horizontais, foram feitas plotagem de gráficos apresentando linhas de *pixels* por número de pixels projetados. Como exemplo, na Figura 15 é apresentado o gráfico das projeções horizontais de todos os ângulos testados na imagem **neg\_4.png**. É Possível obter uma melhor visualização executando o seguinte comando:

```
python alinhar.py imgs/neg_4.png 0
img_saida.png
```

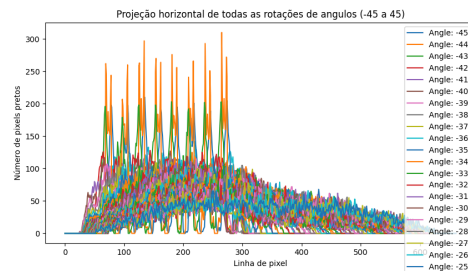


Figura 15. Plotagem de todas as projeções horizontais de -45° a 45° da imagem **neg\_4.png**.

Essas plotagens de gráficos foram feitas para observar que, quanto mais próximo de 0° a imagem ficar em relação a sua rotação, maior será a quantidade de *pixels* pretos no perfil horizontal. Com esse comportamento, basta selecionar o ângulo que fornece essa maior variação. Com essa informação, foi possível implementar a projeção horizontal.

O segundo experimento é executando o comando:

```
python alinhar.py <img> 1
img_saida.png
```

Onde, em **<img>** foram testadas todas as imagens de testes disponibilizados na descrição do trabalho (disponíveis na pasta **/imgs**), utilizando o modo 1, ou seja, utilizando o algoritmo da transformada de hough.

Os resultados são praticamente todos iguais às figuras 1 a 14, com algumas observações. Na imagem **neg\_4.png** o ângulo detectado foi -4.00001°. Na imagem **neg\_28.png** o ângulo identificado foi -28.00001°. Na imagem **pos\_24.png** o ângulo identificado foi 23.99992°. Na imagem **pos\_41.png** 40.99998°. Na imagem **partitura.png** o ângulo obtido foi 25.99992°. Na imagem **sample1.png** o ângulo obtido foi 13.99992°. Na imagem **sample2.png** o ângulo obtido foi -6°.

Usando Tesseract, o resultado foi exatamente igual ao experimento com o algoritmo de projeção horizontal.

Com isso, observa-se que, aplicando ambos os algoritmos, os resultados são praticamente idênticos, com ressalva a transformada de hough, que dá um valor de ângulo mais exato da inclinação.

## **V. Conclusões**

Neste trabalho foi possível explorar a aplicação dos algoritmos de projeção horizontal e transformada de hough para detectar e corrigir inclinações em imagens.

Ambos os algoritmos aparentam ter bons desempenhos, porém, dependendo da inclinação da imagem, a projeção horizontal pode ter alto custo computacional devido seus testes de rotações e projeções horizontais.

O algoritmo de projeção horizontal aparenta uma maior facilidade de compreensão de execução e maior facilidade de interpretação de como detectar inclinações, porém a transformada de hough aparenta maior robustez em aplicações diversas.

Nos experimentos, ambos os algoritmos obtiveram bons resultados, porém, dependendo da inclinação, a transformada de hough apresentou melhores resultados. Caso a imagem tenha muitos detalhes e ruídos, é preciso aplicar pré-processamento na mesma para que a transformada de hough não detecte os ruídos como retas. Nisso a projeção horizontal apresenta vantagem, pois basta realizar projeções em ângulos diferentes e selecionar o que apresentar maior quantidade de *pixels* pretos projetados.